

Applicant's number: Teilnehmernummer:	
--	--

Aptitude Assessment Exam Master Aerospace
Eignungsfeststellungsprüfung Master Aerospace

Aerospace Material Science and Processes

Trial exam
Musterklausur

Please prepare your photo ID for inspection.

Bitte legen Sie Ihren Lichtbildausweis bereit.

You have 60 minutes for the exam.

Sie haben für die Bearbeitung der Prüfung 60 Minuten Zeit.

This exam contains 15 numbered pages incl. the title page

Diese Prüfung enthält 15 nummerierte Seiten inkl. Deckblatt

Please check your copy for completeness!
Bitte prüfen Sie die Vollständigkeit Ihres Exemplars!

Please do not write in red or green or with a pencil!

Bitte nicht mit rot oder grün schreibenden Stiften oder Bleistift ausfüllen!

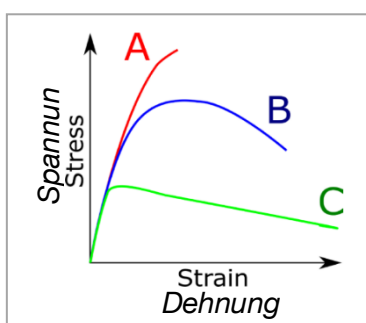
In order to pass the exam, at least 40 % of the answers must be correct.

Die Bestehensgrenze der Prüfung liegt bei 40 %.

Do not fill this part. *Diesen Teil nicht ausfüllen.*

Exercise / Aufgabe	Σ	Passed / Bestanden:
achieved points <i>erreichte Punkte</i>		<input type="checkbox"/> Yes / Ja <input type="checkbox"/> No / Nein
	60	

1. Material Characterization (Stress-Strain Curve) / Materialcharakterisierung (Spannungs-Dehnungs-Diagramm)



With a tensile testing setup an output of tensile force vs. displacement can be generated and then normalized to stress and strain. This was performed for material A, B & C, see figure.

Mit dem Zugversuch kann die Zugkraft über Weg gemessen werden, die anschließend auf Spannung und Dehnung normiert wird. Dies wurde für die Materialien A, B und C durchgeführt, vgl. Abbildung.

Points /
Punkte

- a) Which of the materials has the highest stiffness?

Welches der Materialien hat die höchste Steifigkeit?

/1

- b) Which of the materials has the highest elongation to failure?

Welches der Materialien hat die höchste Bruchdehnung?

/1

- c) Which of the materials has the highest ultimate strength σ_{ult} ?

Welches der Materialien hat die höchste Bruchfestigkeit?

/1

- a) A stiffer material will have a relative higher Young's Modulus. Since $E_A=E_B=E_C$, material A, B and C have the same stiffness.

Ein steifer Werkstoff hat einen relativ höheren Elastizitätsmodul. Da $E_A=E_B=E_C$ gilt, haben die Materialien A, B und C die gleiche Steifigkeit.

- b) Material C, since highest strain at break.

Material C, da höchste Dehnungswerte bei Bruch erreicht.

- c) Material A, since highest stress at break.

Material A, da die höchste Spannung bei Bruch vorliegt.

- d) Below you find the stress-strain-curve of a material. The strain is expressed in %, the force in kN. The test consisted of a round specimen, with an initial length of $L_0 = 70$ mm and a diameter of $d_0 = 13$ mm.

Gegeben ist die Spannungs-Dehnung-Kurve eines Werkstoffs. Die Dehnung wird in % angegeben, die Kraft in kN. Getestet wurde eine Rundprobe mit der Ausgangslänge $L_0 = 70$ mm und Durchmesser $d_0 = 13$ mm.

- i. Draw A_g , A_L , E and R_{eL} into the curve below. Name the terms these acronyms stand for.

Zeichnen Sie A_g , A_L , E und R_{eL} in das Diagramm. Nennen Sie die Kennwerte, die diese Begriffe bezeichnen.

/4

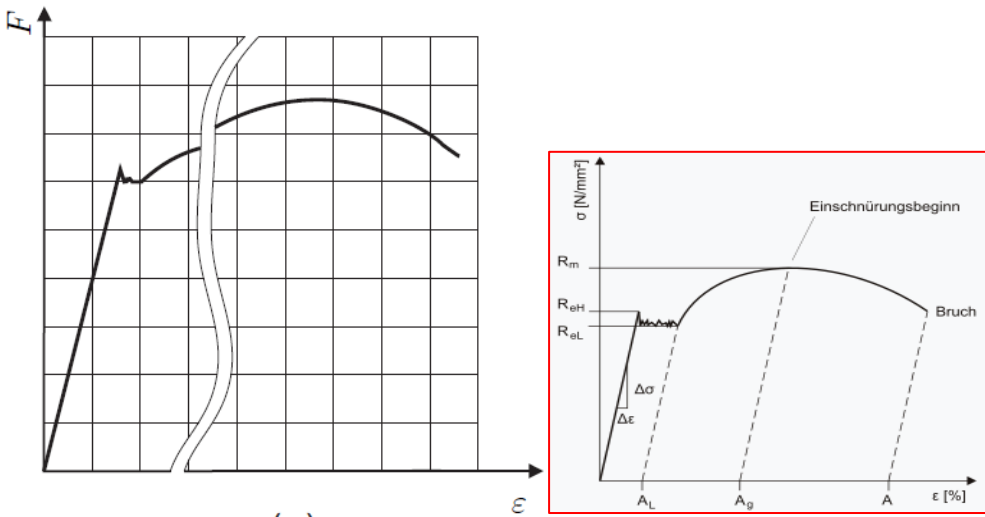
- ii. The height of a square in the diagram represents a force of 6 kN, and the width of a square a strain of 0.4 %. Calculate E and R_{eL} .

Die Höhe eines Kästchens im Diagramm entspricht einer Kraft von 6 kN und die Breite eines Kästchens einer Dehnung von 0,4%. Berechnen Sie E und R_{eL} .

/3

- iii. Calculate the elongation at break (in %) considering a difference in length of $\Delta L = 2,5$ mm.
Berechnen Sie die Bruchdehnung der Probe (in %), wenn nach dem Versuch die Längenänderung $\Delta L = 2,5$ mm beträgt.

/1.5



i)

A_g : Gleichmaßdehnung (uniform elongation/ without necking) (0,5 each)

A_L : Lüdersdehnung *Lüder strain*

E: Elastizitätsmodul (*Elastic modulus*)

R_{eL} : untere Streckgrenze (*lower yield strength*) (0,5 for each line in diagram)

ii)

$$E = \frac{F}{A * \varepsilon} \quad (1) = \frac{24000}{A * 0,4\%} = 41.2 \text{ GPa} \quad (0,5)$$

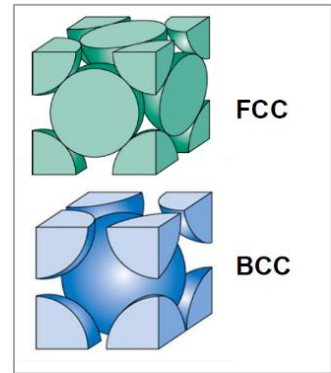
$$R_{eL} = \frac{F_{eL}}{A} \quad (1) = \frac{36000 \text{ N}}{7,5^2 * \pi \text{ mm}^2} = 272 \text{ MPa} \quad (0,5)$$

iii)

$$\frac{\Delta L}{L_0} \quad (1) = \frac{2,5 \text{ mm}}{70 \text{ mm}} = 3,5 \% \quad (0,5)$$

2. Crystal Structures and Phase Diagram / Kristallgitterstrukturen und Phasendiagramm

- a) You can see schematic illustrated lattice structures of Face Centered (FCC) and Body Centered Cubic (BCC) in the figure. The Atomic Packing Factor (APF) is 74 % for FCC and 68 % for BCC. The lattice structure of a material is depending on the temperature. Iron is a FCC above 912 °C and a BCC below 912 °C.



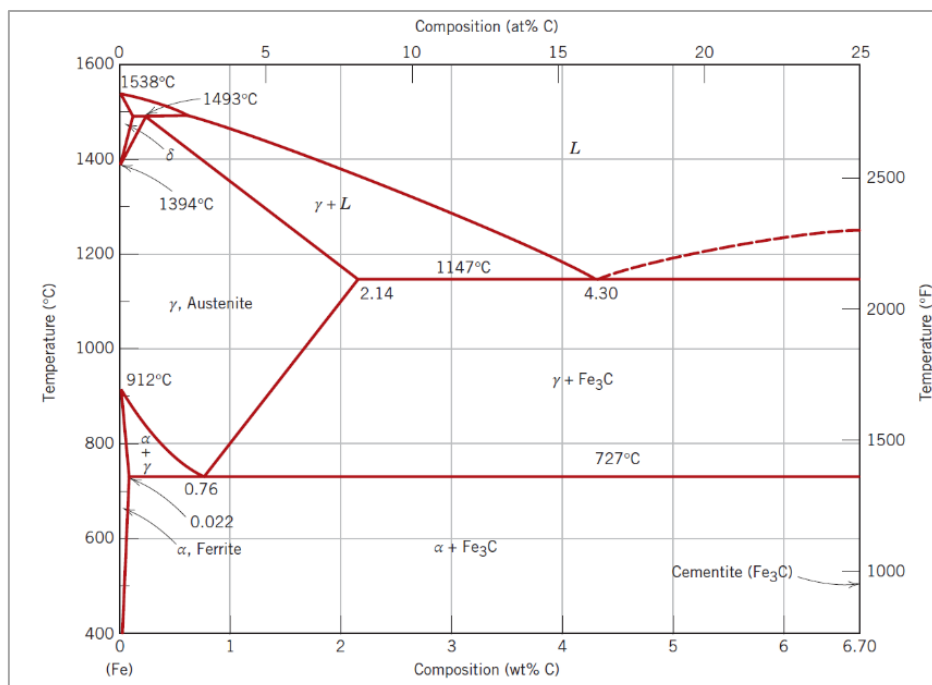
In der Abbildung sind schematisch die Gitterstrukturen von kubisch-flächenzentrierten (FCC) und kubisch raumzentriertes (BCC) Kristallgitter dargestellt. Der atomare Packungsfaktor (APF) beträgt 74 % für FCC und 68 % für BCC. Die Gitterstruktur eines Materials ist von der Temperatur abhängig. Eisen ist oberhalb von 912 °C ein FCC und unterhalb von 912 °C ein BCC.

Will carbon likely diffuse more quickly in iron at 915 °C or 910 °C?
Wird Kohlenstoff in Eisen bei 915 °C oder 910 °C schneller diffundieren?

- b) What are the properties of a relatively larger grain size?
Was sind die Eigenschaften einer verhältnismäßig größeren Korngroße?
- c) The iron carbide (Fe_3C) diagram is given. Name the carbon contents (C) for:
- Iron
 - Steel
 - Cast iron

Gegeben ist das Eisenkohlenstoff-(Fe_3C)-Diagramm. Wie lauten die Kohlenstoffgehalte (C) für:

- Eisen
- Stahl
- Gusseisen



Points / Punkte

/1

/1

/3

- a) FCC is more tightly packed and thus has a greater APF, so it has less open space than BCC. The open space in BCC allows for easier and faster diffusion. Thus, carbon diffuses in iron faster at 910 °C than at 915 °C.
FCC ist dichter gepackt und hat daher einen höheren APF, d. h. es hat weniger offenen Raum als BCC. Der offene Raum in BCC ermöglicht eine leichtere und schnellere Diffusion. Daher diffundiert der Kohlenstoff bei 910 °C schneller in Eisen als bei 915 °C.
- b) Higher melting temperature, higher elastic modulus, higher creep resistance
Höhere Schmelztemperatur, größerer E-Modul, höhere Kriechbeständigkeit
- c) Fe₃C:
- i. C<0.008 wt%
 - ii. 0.008 wt% < C < 2.14 wt%
 - iii. 2.14 wt% < C < 6.7 wt%

3. Structure of materials / Struktur von Materialien

One of the possible bond types of materials is the covalent bond.

Eine der Bindungsarten für Materialien ist die kovalente Bindung.

- a) Give a definition of the covalent bond.

Definieren Sie diese Bindungsart.

/1

- b) List four typical characteristics resulting from this bond type.

Zählen Sie vier typische Eigenschaften auf, die durch diese Bindungsart resultieren.

/2

The covalent bond is characterized by the building of electron couples among electronegative Atoms.

Die kovalente Bindung beruht auf der Bildung von gemeinsamen Elektronenpaaren (0,5) zwischen elektronegativen Atomen (0,5).

- geringe electric and thermal conductivity (*geringe elektrische und thermische Leitfähigkeit*)
- Bad deformability (ductility) (*Schlechte Verformbarkeit/Duktilität*)
- High binding forces
- Strong directed bond
- Among non-metals
- Electrons highly localized

0,5 each

4. Metals and Ceramics / Metalle und Keramik

- a) Why is aluminum often preferred over magnesium for lightweight design?
Warum wird Aluminium im Leichtbau oft gegenüber Magnesium bevorzugt?

Points /
 Punkte

/2

Pure Magnesium

Properties		Values
Density	g/cm ³	1.74
Melting point	°C	651
Modulus of elasticity	GPa	45.0
Expansion coefficient	10 ⁻⁶ /K	25
Tensile strength ^a	MPa	80 – 180
Elongation at break ^a	%	1 – 12

^a Values depending on state of editing

Pure Aluminum

Properties		Values
Density	g/cm ³	2.7
Melting point	°C	660
Modulus of elasticity	GPa	66.6
Expansion coefficient	10 ⁻⁶ /K	25.0
Electrical conductivity	A/(V*m)	37.6*10 ⁶
Tensile strength ^a	MPa	40 – 180
Elongation at break ^a	%	4 – 50

^a Values depending on state of editing

Typical Magnesium alloys: $\rho \approx 1.74 \text{ g/cm}^3$, $R_m \leq 250 \text{ MPa}$, $E = 45\,000 \text{ MPa}$

Typical Aluminum alloys: $\rho \approx 2.70 \text{ g/cm}^3$, $R_m \leq 410 \text{ MPa}$, $E = 70\,000 \text{ MPa}$

- b) Why are turbine engine parts with high temperature requirements typically not made from massive ceramic materials? How could ceramics be used instead for turbine parts?
Warum werden Turbinenkomponenten mit hohen Temperaturanforderungen normalerweise nicht aus massiven keramischen Werkstoffen hergestellt? Wie könnten stattdessen keramische Werkstoffe für Turbinenteile verwendet werden?

/2

- a) Superior mechanical properties, better formability than Mg, lower material costs than Mg, higher corrosion resistance than Mg
Hervorragende mechanische Eigenschaften, bessere Umformbarkeit als Mg, niedrigere Materialkosten als Mg, höhere Korrosionsbeständigkeit als Mg
- b) Even though Ceramics show excellent thermal stability, their disposition to brittle fracture, high scattering of mechanical properties and decrease of strength at static load make this material unsuitable for massive parts. Instead, ceramic coatings are used to increase thermal stability of nickel alloy parts.
Obwohl Keramiken eine ausgezeichnete thermische Belastbarkeit aufweisen, machen ihre Anfälligkeit für Sprödbrüche, die starke Streuung der mechanischen Eigenschaften und die Abnahme der Festigkeit bei statischer Belastung diesen Werkstoff für massive Teile ungeeignet. Stattdessen werden Keramikbeschichtungen verwendet, um die thermische Stabilität von Teilen mit Nickellegierungen zu erhöhen.

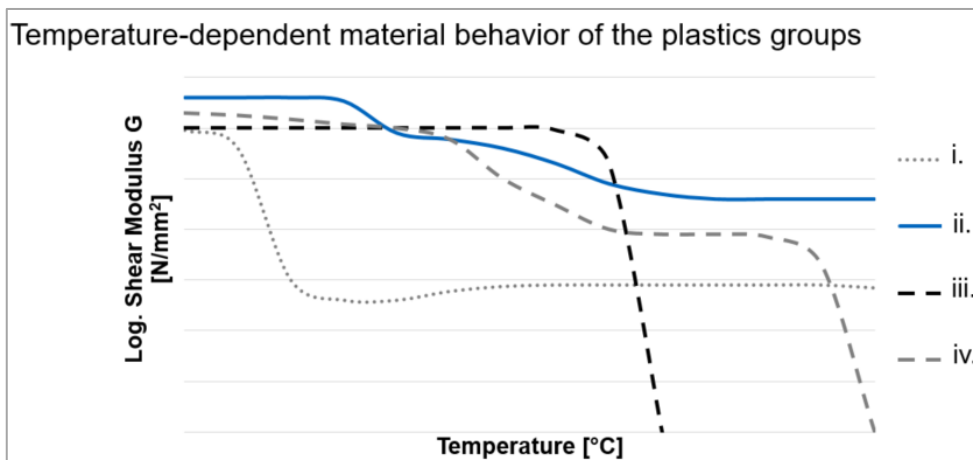
5. Material Properties / Materialeigenschaften

a) A unique property of thermoplastics is the ability of their polymer chains to be amorphous or crystalline. Amorphous polymers consist of long chains that are randomly shaped and disordered along their length. Each chain twists and turns along its length without order, and there is no pattern with the other chains. In comparison, crystalline polymers consist of chains with a well-ordered structure. Thermosets and elastomers always occur in the amorphous condition.

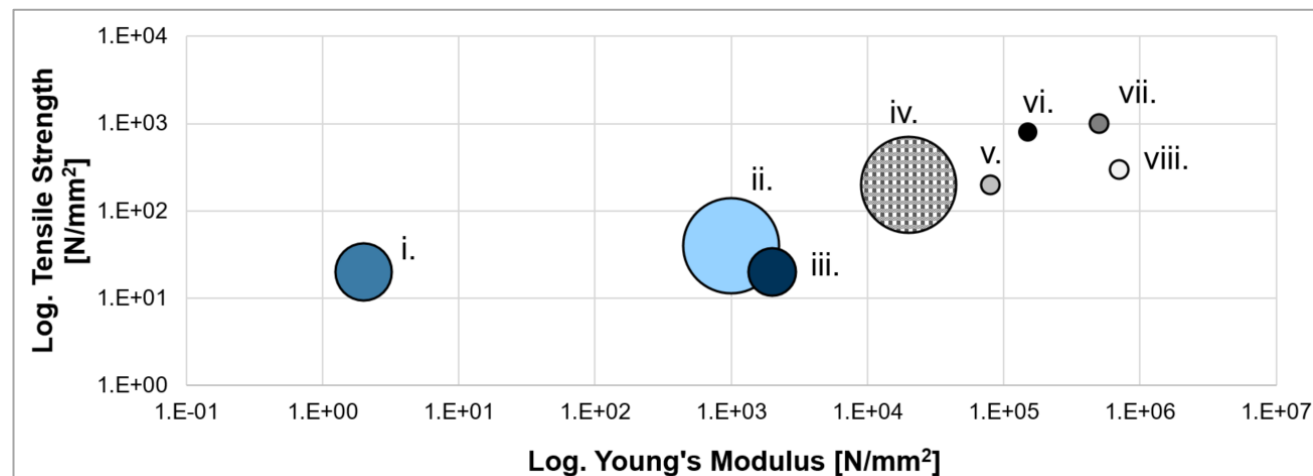
Eine einzigartige Eigenschaft von Thermoplasten ist, dass die Polymerketten amorph oder kristallin vorliegen können. Amorphe Polymere bestehen aus langen Ketten, die zufällig geformt und ungeordnet entlang ihrer Länge sind. Jede Kette dreht und wendet sich entlang ihrer Länge ohne Ordnung, und es gibt kein Muster mit den anderen Ketten. Im Vergleich dazu bestehen kristalline Polymere aus Ketten mit einer geordneten Struktur. Duroplaste und Elastomere liegen immer im amorphen Zustand vor.

Assign the plastic groups **amorphous** and **semi-crystalline thermoplastics, thermosets and elastomers** to the curves i.-iv.

Ordne die Kunststoffgruppen **amorphe** und **teilkristalline Thermoplaste, Duroplaste und Elastomere** den Kurven i.-iv. zu.



- b) Assign the following materials to the dot graphics i.-viii in the diagram: **Composite, Elastomers, Thermosets, Thermoplastics, Iron, Steel, Aluminum and Ceramics.**
Ordne die folgenden Materialien zu den Blasengrafiken i.-viii. im Diagramm zu: **Composite/Faserverbundwerkstoffe, Elastomere, Duroplaste, Thermoplaste, Stahl, Eisen, Aluminium und Keramiken.**



Points / Punkte

/2

/4

- c) One of the most important and basic properties in material science is the thermal conductivity. Give the definition of the thermal conductivity and write its SI unit.
Eine der wichtigsten und grundlegenden Eigenschaften in der Werkstoffkunde ist die Wärmeleitfähigkeit. Definieren Sie die Wärmeleitfähigkeit und schreiben Sie dessen SI-Einheit auf.
- d) Name the two possible mediums the thermal conductivity works with depending on a material's atomic structure.
Nennen Sie die zwei möglichen Medien, durch die die Wärmeleitung funktioniert in Abhängigkeit von der atomischen Struktur des Materials.

Points /
Punkte

/1.5

/1

a)

- i. Elastomers / Elastomere
- ii. Thermosets / Duroplaste
- iii. Amorphous Thermoplastics / Amorphe Thermoplaste
- iv. Semi-Crystalline Thermoplastics / Teilkristalline Thermoplaste

b) Plastics compared to metals & ceramics / Kunsstoffe im Vergleich zu Metallen u
Keramiken:

- i. Elastomers / Elastomere
- ii. Thermoplastics / Thermoplaste
- iii. Thermosets / Duroplaste
- iv. Composites / Faserverbundwerkstoffe
- v. Aluminum / Aluminium
- vi. Iron / Eisen
- vii. Stahl / Steel
- viii. Ceramics / Keramiken

c) Wärmeleitfähigkeit beschreibt die Fähigkeit von Festkörpern, eine im Festkörper vorhandene Temperaturdifferenz (0,5) durch Wärmetransport auszugleichen (0,5).
[W/Km] (0,5)

d) Elektronengas -> freie Elektronen in Metallen
Phonenen -> feste Elektrone -> Schwingungen, die Übertragen werden

6. Plastics: Thermosets vs. Thermoplastics / Duroplaste vs. Thermoplaste

- a) When thermosets reach their (1)___, they don't melt like other polymers. Instead they (2)___ because of their (3)___.
Wenn Duroplaste ihre (1)___, dann schmelzen sie nicht wie andere Polymere. Stattdessen (2)___ sie aufgrund ihres (3)___.

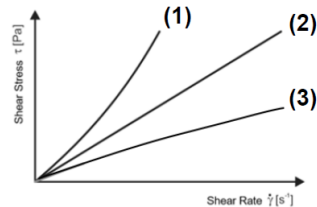
/2

- b) Which type of molecular structure is present in thermosets and explain the structure?

Welche Molekülstruktur liegt bei Duroplaste vor und erkläre diese?

- c) Label the viscosity curves. Which shear behavior show thermoplastics?

Beschreibe die Viskositätskurven. Welches Scherverhalten weisen Thermoplaste auf?

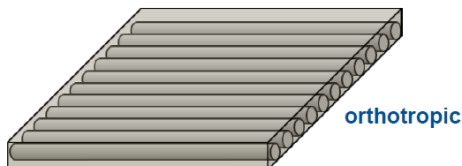


- a) (1): decomposition temperature / Zersetzungstemperatur
 (2): degrade / degradieren, zersetzen
 (3): closed-mesh network / engmaschigen Netzwerks, Struktur
- b) Thermosets are cross-linked polymers with adjacent linear chains that are brought one to another at several locations by covalent bonds. Cross linking is completed by a non-reversible chemical reaction. Often, cross-linking is finished by additive atoms which are covalently bonded to the chains in the thermosetting polymers.
Duroplaste sind stark vernetzte Polymere mit benachbarte linearen Ketten, die an mehreren Stellen durch kovalente Bindungen miteinander verbunden sind. Die Vernetzung wird durch eine nicht umkehrbare chemische Reaktion abgeschlossen. Häufig wird die Vernetzung durch Additivatome abgeschlossen, die kovalent an die Ketten der duroplastischen Polymere gebunden sind.
- c) (1) Shear Thickening /strukturviskos (scherverdunnend)
 (2) Newtonian / Newtonsch
 (3) Shear Thinning / dilatant (scherverdickend)
Thermoplastic behaves shear thinning. / Thermoplaste verhalten sich strukturdilatant.

7. Composites

The material properties of a composite lamina/ply can be approximated by micromechanical models. The matrix material is an epoxy resin ($E_m = 3.6 \text{ GPa}$, $\nu_m = 0.35$). Reinforcing unidirectional T300 carbon fibres ($E_{f11} = 230 \text{ GPa}$, $E_{f22} = 40 \text{ GPa}$, $\nu_{f12} = 0.25$, $G_{f12} = 17 \text{ GPa}$) are given. You can see the schematic approach of the lamina in the figure.

Die Materialeigenschaften eines Composites/Verbundwerkstoffs Laminats können durch mikromechanische Modelle angenähert werden. Das Matrixmaterial ist ein Epoxidharz ($E_m = 3,6 \text{ GPa}$, $\nu_m = 0,35$). Verstärkende unidirektionale T300-Kohlenstofffasern ($E_{f11} = 230 \text{ GPa}$, $E_{f22} = 40 \text{ GPa}$, $\nu_{f12} = 0,25$, $G_{f12} = 17 \text{ GPa}$) sind gegeben. In der Abbildung ist der schematische Ansatz der Lamelle zu sehen.



$$E_1 = E_{f,1} \cdot \varphi_f + E_m \cdot (1 - \varphi_f)$$

Apply micromechanical modelling to derive the longitudinal stiffness of the composite E_1 .

Points /
Punkte

/2

/2

/3

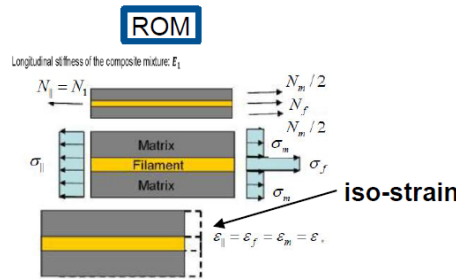
Wenden Sie die mikromechanische Modellierung an, um die Steifigkeit des Verbundstoffs in Faserrichtung **E₁** abzuleiten.

Points / Punkte

$$E_1 = E_{f,1} \cdot \varphi_f + E_m \cdot (1 - \varphi_f)$$

$$E_1 = 230 * 0.6 + 3.6 * 0.4 = 139.4 \text{ GPa}$$

138 GPa 1.4 GPa



Analogy: "parallel springs"

8. Additional Properties / Zusätzliche Eigenschaften

a) Thermal properties / Thermische Eigenschaften

/3

Considering the thermal expansion of a T-beam structure made from a TiAl alloy ($TiAl_{48}Cr_2$, $\rho = 4 \text{ g/cm}^3$, $CLTE = 9.54 \cdot 10^{-6} \text{ 1/K}$, $E = 175 \text{ GPa}$) at 287.778°C , determine the absolute length of the beam. The length of the beam at 20°C is 2.348 m. Assume that the beam is stress free at room temperature and the expansion only occurs in the longitudinal direction.

Bestimmen Sie unter Berücksichtigung der Wärmeausdehnung einer T-Trägerstruktur aus einer TiAl-Legierung ($TiAl_{48}Cr_2$, $\rho = 4 \text{ g/cm}^3$, $CLTE = 9.54 \cdot 10^{-6} \text{ 1/K}$, $E = 175 \text{ GPa}$) bei 287.778°C die absolute Länge des Trägers. Die Länge des Balkens bei 20°C beträgt 2,348 m. Nehmen Sie an, dass der Träger bei Raumtemperatur spannungsfrei ist und die Ausdehnung nur in Längsrichtung erfolgt.

b) Degradation of Polymers / Abbau von Polymeren

/1

Name 3 mechanisms in which polymers degrade.

Nennen Sie 3 Mechanismen, durch die Polymere abgebaut werden.

c) Corrosion / Korrosion

/1

Name three corrosion types.

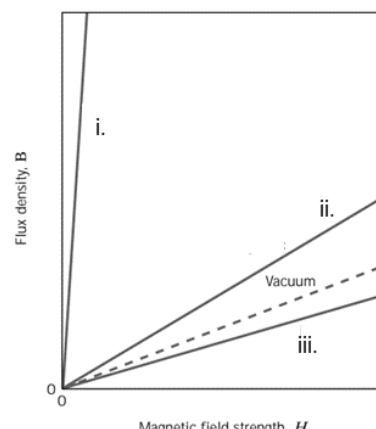
Nennen Sie 3 Korrosionstypen.

d) Magnetic properties / Magnetische Eigenschaften

/1

Assign the magnetism types (diamagnetism, paramagnetism, ferromagnetism) to the following flux density-magnetic field strength graph.

Ordnen Sie die Magnetismusarten (Diamagnetismus, Paramagnetismus, Ferromagnetismus) dem folgenden Flussdichte-Magnetfeldstärke-Diagramm zu.



a) $\alpha_l = \frac{\Delta l}{l_0 \Delta T} = \frac{l_1 - l_0}{l_0 (T_f - T_0)} \rightarrow l_1 = l_0 + \alpha_l l_0 (T_f - T_0)$

$$l_1 = 2.348 \text{ m} + 9.54 \cdot 10^{-6} \frac{1}{K} \times 2.348 \text{ m} \times (287.778 - 20) K$$

$$l_1 = 2.354 \text{ m}$$

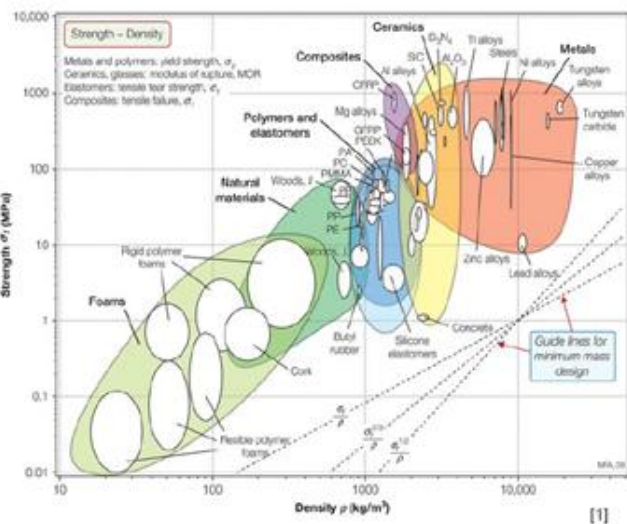
- b) Thermal oxidation, ultraviolet radiation, chain scission, hydrolysis
Thermische Oxidation, ultraviolette Strahlung, Kettenspaltung, Hydrolyse
- c) General surface corrosion, stress-cracking, pitting, crevice, intergranular, fretting
Gleichmäßige Flächenkorrosion, Spannungsrißkorrosion, Lochfraßkorrosion, Spaltkorrosion, interkristalline Korrosion, Reibkorrosion
- d)
 - i. Ferromagnetism / *Ferromagnetismus*
 - ii. Paramagnetism / *Paramagnetismus*
 - iii. Diamagnetism / *Diamagnetismus*

9. Material Selection / Materialauswahl

Using the Ashby plots provided below, propose a material to manufacture the wing structure of a new jet inspired by the Grumman X-29. The wings are dominated by the bending loads and the deflection should be limited. Since the plane will carry optical instruments for scientific research, the wing must not exceed a density of 2000 kg/m^3 . Additionally, the material requires a minimal fracture toughness of $0.4 \text{ MPa} \cdot \text{m}^{1/2}$.

/3

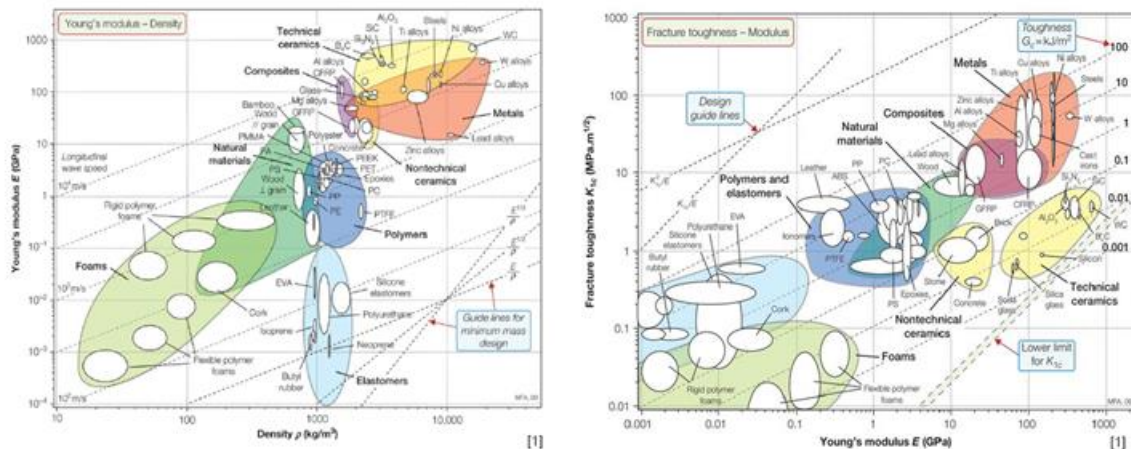
Schlagen Sie anhand der nachstehenden Ashby-Diagramme ein Material für die Herstellung der Flügelstruktur eines neuen Flugzeugs nach dem Vorbild der Grumman X-29 vor. Die Tragflächen werden durch die Biegebelastung dominiert und die Durchbiegung sollte begrenzt sein. Da das Flugzeug optische Instrumente für die wissenschaftliche Forschung tragen wird, darf der Flügel eine Dichte von 2000 kg/m^3 nicht überschreiten. Außerdem muss das Material eine Mindestbruchzähigkeit von $0,4 \text{ MPa} \cdot \text{m}^{1/2}$ aufweisen.



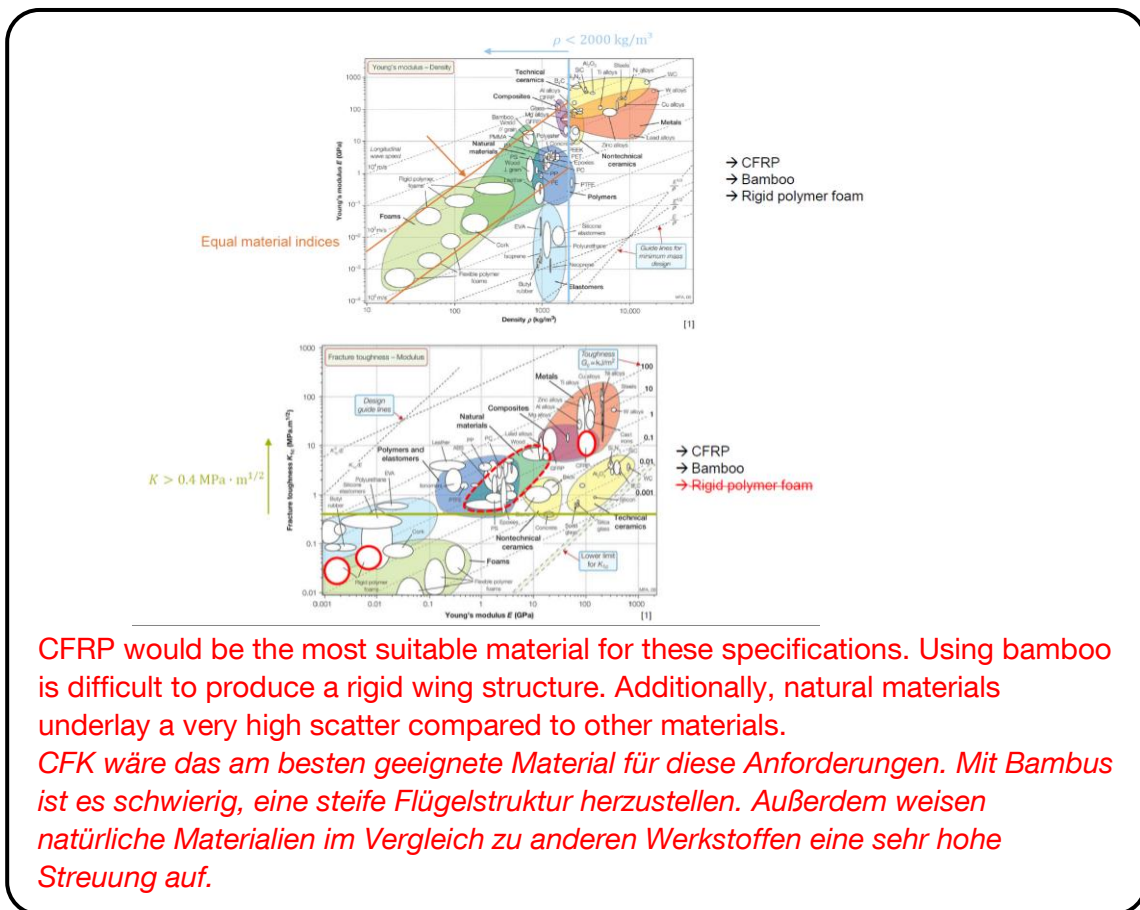
Design objective	Design shape	Minimum mass index
Stiffness-limited design	Tie	ρ/E
	Beam	$\rho/E^{1/2}$
	Panel	$\rho/E^{1/3}$
	Shaft	$\rho/G^{1/2}$
Strength-limited design	Cylinder	ρ/E
	Tie	ρ/σ_y
	Beam	$\rho/\sigma_y^{2/3}$
	Panel	$\rho/\sigma_y^{1/2}$
	Shaft	$\rho/\tau_y^{2/3}$
	Cylinder	ρ/σ_y

[2] Mourtz, A.P., 2012, Introduction to aerospace materials, Woodhead Pub, Cambridge, UK.

Points / Punkte



[1] Ashby, M.F., 2011, Materials selection in mechanical design, 4th edn., Butterworth-Heinemann, Burlington, MA.



10. Introduction to Material Processes / Einführung in die Materialprozesstechnik

Points /
Punkte

Match the different processes to their definition based on material cohesion according to the standard DIN8580.

Ordnen Sie die verschiedenen Verfahren ihrer Definition zu, die auf der Materialkohäsion gemäß der Norm DIN8580 basiert.

i. Primary shaping / Urformen

ii. Forming / Umformen

iii. Separating / Trennen

iv. Joining / Fügen

v. Coating / Beschichten

/3

() Local increase of cohesion / Zusammenhalt vermehren

() Reducing cohesion / Zusammenhalt vermindern

() Maintaining cohesion / Zusammenhalt beibehalten

() Local increase of cohesion / Zusammenhalt vermehren

() Creating cohesion from shapeless materials / Zusammenhalt schaffen

(iv) Local increase of cohesion / Zusammenhalt vermehren

(iii) Reducing cohesion / Zusammenhalt vermindern

(ii) Maintaining cohesion / Zusammenhalt beibehalten

(v) Local increase of cohesion / Zusammenhalt vermehren

(i) Creating cohesion from shapeless materials / Zusammenhalt schaffen

11. Life Cycle Assessment (LCA) / Lebenszyklusanalyse

/3

Select all the correct statements regarding the LCA phases according to the ISO 14040 norm.

Wählen Sie alle richtigen Aussagen zu den LCA-Phasen gemäß der ISO 14040-Norm aus.

- The LCA is composed of four main phases: goal and scope definition, Life Cycle Inventory, Life Cycle Impact Assessment, and interpretation.
Die Ökobilanz besteht aus vier Hauptphasen: Ziel- und Umfangsdefinition, Lebenszyklusinventur, Bewertung der Auswirkungen auf den Lebenszyklus und Interpretation.
- The goal and scope definition phase consists of describing the product system, define the system boundaries and reference the inputs and outputs to the functional unit.
Die Phase der Ziel- und Umfangsdefinition besteht aus der Beschreibung des Produktsystems, der Festlegung der Systemgrenzen und der Zuordnung der Inputs und Outputs zur Funktionseinheit.
- Handling data gaps is a main part of the goal and scope definition stage.
Die Behandlung von Datenlücken ist ein wesentlicher Bestandteil der Phase der Ziel- und Umfangsdefinition.

- The result of a Life Cycle Inventory includes the different gas emissions and quantities of them.
Das Ergebnis einer Sachbilanz umfasst die verschiedenen Gasemissionen und deren Mengen.
- The Life Cycle Inventory quantifies environmental consequences of the product by aggregating and translating inventory into impact.
Die Sachbilanz quantifiziert die Umweltauswirkungen des Produkts, indem sie das Inventar zusammenfasst und in Auswirkungen umwandelt.
- Photochemical ozone formation, land use, water scarcity and acidification are examples of impact categories according to the European Commission.
Photochemische Ozonbildung, Landnutzung, Wasserknappheit und Versauerung sind Beispiele für Wirkungskategorien nach Angaben der Europäischen Kommission.

Points /
Punkte

- The LCA is composed of four main phases: goal and scope definition, Life Cycle Inventory, Life Cycle Impact Assessment, and interpretation.
Die Ökobilanz besteht aus vier Hauptphasen: Ziel- und Umfangsdefinition, Lebenszyklusinventur, Bewertung der Auswirkungen auf den Lebenszyklus und Interpretation.
- The goal and scope definition phase consists of describing the product system, define the system boundaries and reference the inputs and outputs to the functional unit.
Die Phase der Ziel- und Umfangsdefinition besteht aus der Beschreibung des Produktsystems, der Festlegung der Systemgrenzen und der Zuordnung der Inputs und Outputs zur Funktionseinheit.
- Handling data gaps is a main part of the goal and scope definition stage.
Die Behandlung von Datenlücken ist ein wesentlicher Bestandteil der Phase der Ziel- und Umfangsdefinition.
- The result of a Life Cycle Inventory includes the different gas emissions and quantities of them.
Das Ergebnis einer Sachbilanz umfasst die verschiedenen Gasemissionen und deren Mengen.
- The Life Cycle Inventory quantifies environmental consequences of the product by aggregating and translating inventory into impact.
Die Sachbilanz quantifiziert die Umweltauswirkungen des Produkts, indem sie das Inventar zusammenfasst und in Auswirkungen umwandelt.
- Photochemical ozone formation, land use, water scarcity and acidification are examples of impact categories according to the European Commission.
Photochemische Ozonbildung, Landnutzung, Wasserknappheit und Versauerung sind Beispiele für Wirkungskategorien nach Angaben der Europäischen Kommission.

12. Recycling

Points /
Punkte

- a) From the following CFRP recycling techniques, write a "T" if the process is thermal, "C" if it is chemical, and "M" if it is mechanical.

Schreiben Sie von den folgenden CFK-Recyclingverfahren ein "T", wenn es sich um ein thermisches Verfahren handelt, ein "C", wenn es sich um ein chemisches Verfahren handelt, und ein "M", wenn es sich um ein mechanisches Verfahren handelt.

/3

- Shredding / Zerschreddern
- Solvolysis / Solvolyse
- Pyrolysis / Pyrolyse
- Induction / Induktion
- Hydration / Hydrierung
- Grinding / Zermahlen

- b) Which of these previous processes are suitable for the fiber-matrix separation?

Welche der vorgenannten Verfahren sind für die Faser-Matrix-Trennung geeignet?

/1

a)

M Shredding / Zerschreddern
C Solvolysis / Solvolyse
T Pyrolysis / Pyrolyse
T Induction / Induktion
C Hydration / Hydrierung
M Grinding / Zermahlen

b)

Solvolysis / Solvolyse
Pyrolysis / Pyrolyse
Induction / Induktion
Hydration / Hydrierung